



*Явная схема расчета нестационарных трехмерных
течений вязкого теплопроводного
многокомпонентного газа*

Жуков В.Т., Новикова Н.Д., Феодоритова О.Б.

Институт прикладной математики им. М. В. Келдыша РАН

План

- Особенности расщепления по физическим процессам.
- Схема интегрирования по времени уравнений Навье-Стокса / системы уравнений многокомпонентных течений/.
- Явно-итерационная схема интегрирования по времени параболических уравнений
- Численные примеры
- Код MCFL (MultiComponent Flows) - функциональное развитие NOISEtte
- Заключение
- Цель – моделирование многокомпонентных течений, в том числе, как источник шума
Luca Magri (2017). *On indirect noise in multicomponent nozzle flows*. *J. of Fluid Mechanics*, 828(), R2–. doi:10.1017/jfm.2017.591

Расщепление по физическим процессам

Пример. Уравнение конвекции – диффузии

$$u_t = u_x + u_{xx}$$

Аппроксимация по пространству :

$$u_t = C_h u + D_h u .$$

Алгоритм расчета шага $t \rightarrow t + \tau$:

гиперболический этап $u_t = C_h u$

параболический этап $u_t = D_h u$

Свойства простейшей схемы расщепления

Проблема точности. Пример : A и B – квадратные неперестановочные матрицы.

$$\frac{du}{dt} = (A + B)u, \quad t \rightarrow t + \tau$$

$$1. \quad v(t) = u(t) \quad \frac{dv}{dt} = Bv \quad \Rightarrow \quad v(t + \tau) = e^{B\tau} v(t)$$

$$2. \quad w(t) = v(t + \tau), \quad \frac{dw}{dt} = Aw \quad \Rightarrow \quad w(t + \tau) = e^{A\tau} w(t),$$

$$u(t + \tau) = e^{A\tau} w(t) = e^{A\tau} e^{B\tau} u(t)$$

$$\text{Точное решение : } U(t + \tau) = e^{(A+B)\tau} u(t)$$

Погрешность схемы $O(\tau)$, т.к. $AB \neq BA$

$$\delta = e^{(A+B)\tau} - e^{A\tau} e^{B\tau} = 0.5[BA - AB]\tau^2 + \dots$$

Есть проблема сохранения стационарного решения.

Для нелинейных задач расщепление может приводить к разным решениям.

Математическая модель RANS (в отсутствии горения)

$$\frac{\partial \rho}{\partial t} + \nabla \cdot (\rho \vec{u}) = 0,$$

$$\frac{\partial (\rho \vec{u})}{\partial t} + \nabla \cdot (\rho \vec{u} \otimes \vec{u}) = -\nabla p + \nabla \cdot (\tau_\mu + \tau_t),$$

$$\frac{\partial (\rho E)}{\partial t} + \nabla \cdot \left(\rho \vec{u} \left(E + \frac{p}{\rho} \right) \right) = \nabla \cdot \left[\vec{u} \cdot (\tau_\mu + \tau_t) + (\vec{q}_\mu + \vec{q}_t) \right],$$

$$\tau_\mu = \mu(T) \left(\nabla \vec{u} + [\nabla \vec{u}]^t - \frac{2}{3} I \nabla \cdot \vec{u} \right), \quad \vec{q}_\mu = -\lambda(T) \nabla T \left(+ \sum_{k=1}^{N_{sp}} h_k \mathbf{J}_{k,j} \right)$$

+ Уравнение состояния

+ Модель турбулентности (Ментера, ...)

τ_μ , τ_t , \vec{q}_μ , \vec{q}_t – молекулярная и турбулентная компоненты тензора вязких напряжений и теплового потока соотв.

Уравнения балансов компонентов смеси в диффузионном приближении

$$\frac{\partial(\rho Y_m)}{\partial t} + \frac{\partial(\rho u_j Y_m)}{\partial x_j} = \frac{\partial}{\partial x_j} \left[\rho D_m \frac{\partial Y_m}{\partial x_j} \right] + \dot{\omega}_m, \quad m = \overline{1, N_{sp}}$$

Диффузионный поток \vec{J}_m и скорость $\dot{\omega}_m$ изменения компонента m :

$$\vec{J}_m = -\rho D_m \nabla Y_m, \quad \dot{\omega}_m = W_m \sum_{j=1}^{N_r} \nu_{j,m} s_j,$$

$\nu_{j,m}$ – стехиометр. коэфф. компонента m в реакции j

W_m – молярная масса компонента, s_j – скорость реакции j :

$$s_j = Q(Y) \left\{ k_{fj} \prod_{t=1}^{N_{sp}} \left[\frac{\rho Y_t}{W_t} \right]^{\alpha_{tj}} - k_{bj} \prod_{t=1}^{N_{sp}} \left[\frac{\rho Y_t}{W_t} \right]^{\beta_{tj}} \right\}$$

α_{tj}, β_{tj} – степени компонента t ,

k_{fj}, k_{bj} – константы скорости реакции

Схема расщепления в многокомпонентном случае

$$U \equiv \rho \left(\mathbf{1}, u_1, u_2, u_3, E, k, \omega, \{ Y_m, m = 1, \dots, N_{sp} \} \right)$$

Разностная схема :

$$\frac{\partial}{\partial t} U + C_h(U) = D_h(U)$$

$C_h(U)$ – *нелинейный конвективный оператор*

$D_h(U)$ – *нелинейный диффузионный оператор*

Явная схема :

$$\frac{U^{n+1} - U^n}{\tau} + C_h U^n = D_h U^n$$

Расщепление:

Гиперболический этап – схема Годунова с точным решением задачи Римана для многокомпонентной смеси

Параболический этап:
вязкость, теплопроводность,
диффузия компонентов смеси

\tilde{U}^n – результат
предикторных
итераций LINS

$$\frac{\bar{U}^{n+1} - U^n}{\tau} + C_h U^n = 0$$

$$\frac{U^{n+1} - \bar{U}^{n+1}}{\tau} = D_h \tilde{U}^n$$

Сумма этапов:

$$\frac{U^{n+1} - U^n}{\tau} + C_h U^n = D_h \tilde{U}^n$$

Базовая схема параболического этапа
- схема LI-M для параболических уравнений

$$u_t + L u = f \quad \text{in } G = [t_0; T] \times \Omega$$

$$L u = -\nabla \cdot (\kappa \nabla u) + a_0 \cdot u + f$$

Схема LI-M, свойства, спектр оператора перехода

$\lambda \in [0; \lambda_{max}] = \text{sp} (L_h)$, многочлен Чебышева $G_p(\lambda)$

$$p = \left\lceil 0.5 \pi \sqrt{\tau \lambda_{max} + 1} \right\rceil$$

Нет настроечных параметров, конечное число итераций $\nu = 2p - 1$

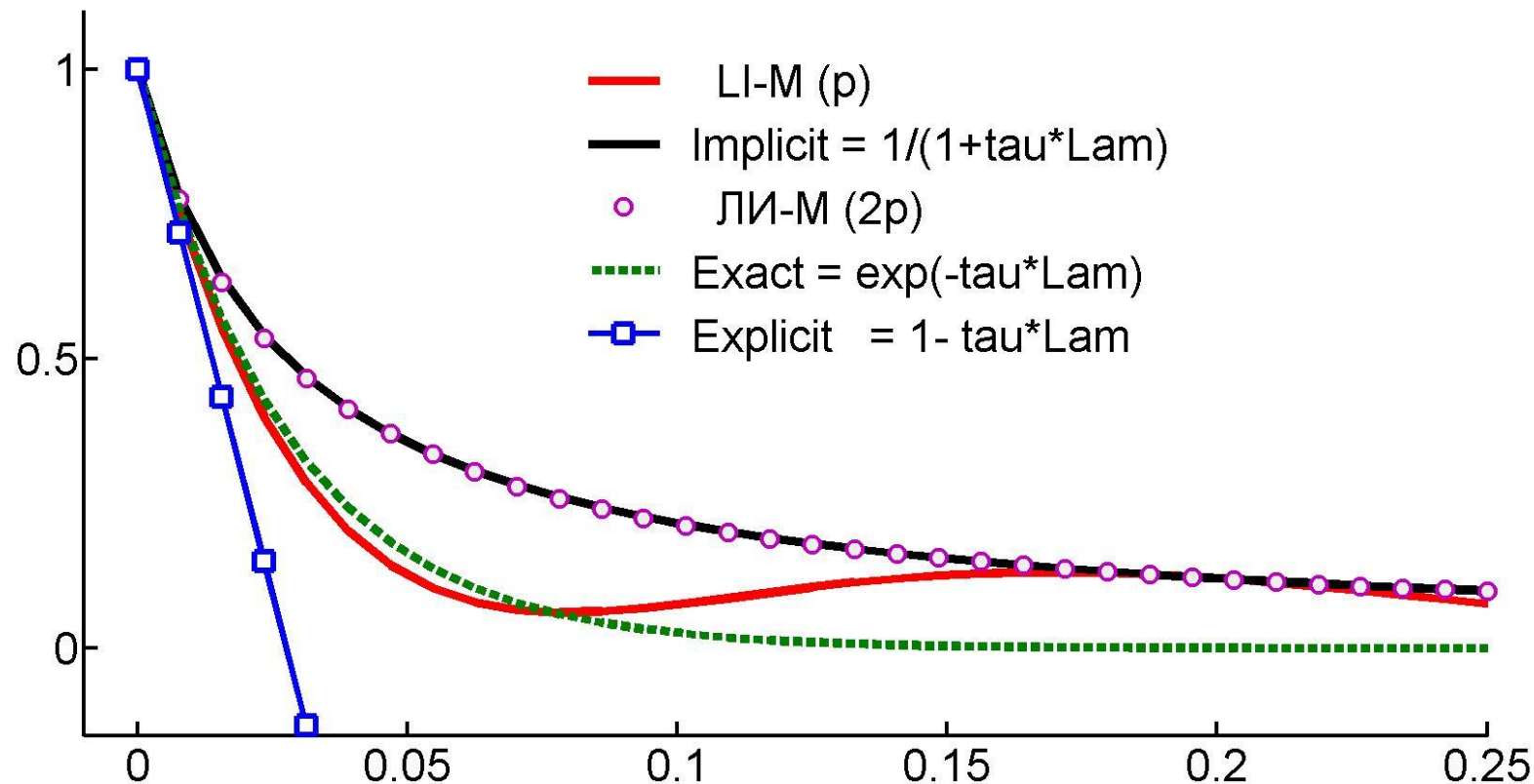
$$\rho_{LI-M}(\lambda) = \frac{1 - G_p^2(\lambda)}{1 + \tau\lambda}, \quad |G_p| \leq 1$$

Явная схема: $\rho_{\text{exp}}(\lambda) = 1 - \tau\lambda$

Неявная схема: $\rho_{\text{imp}}(\lambda) = \frac{1}{1 + \tau\lambda}$

Спектры операторов перехода по сравнению с точным

$$\exp(-\tau \cdot \lambda)$$



$$\lambda \in [0; h^2 \cdot \lambda_{max}]$$

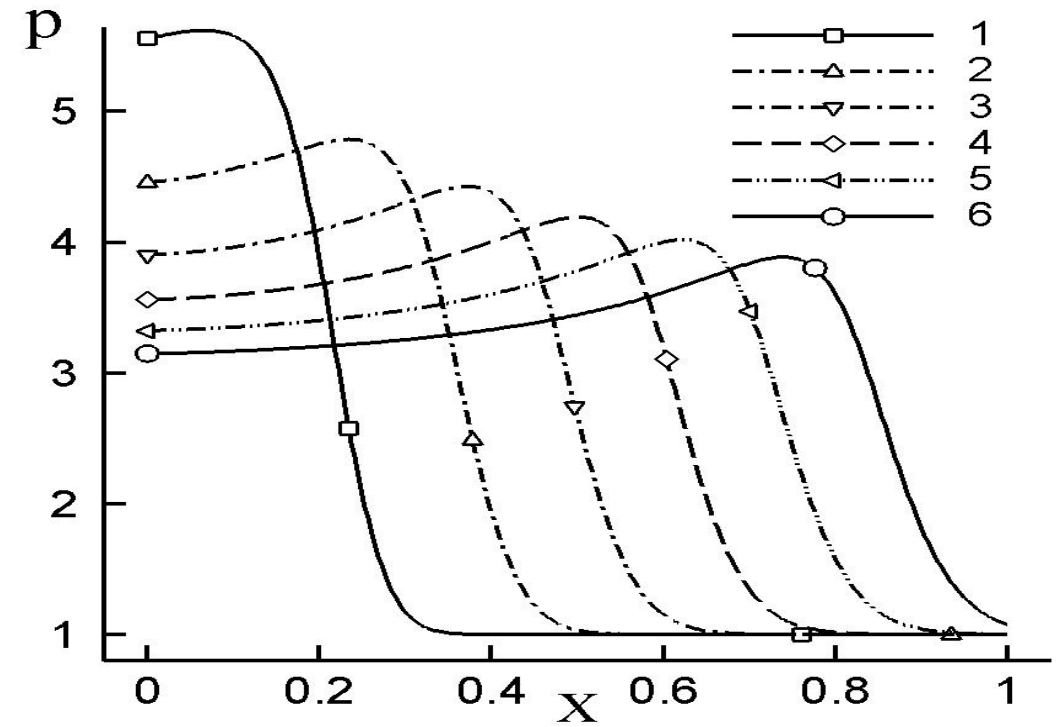
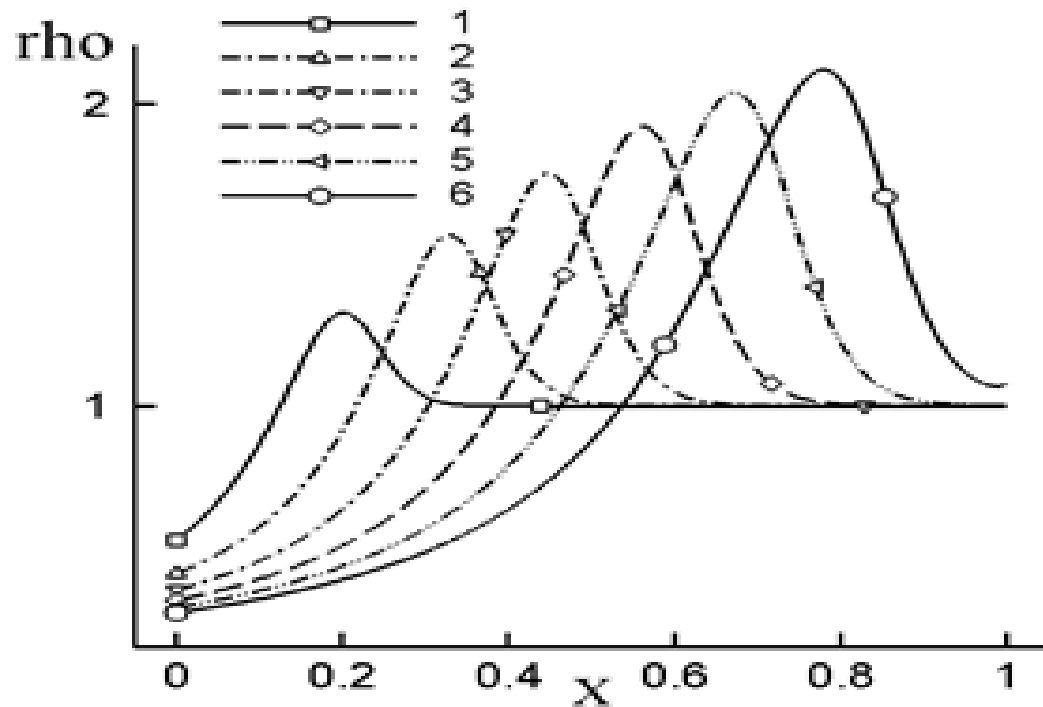
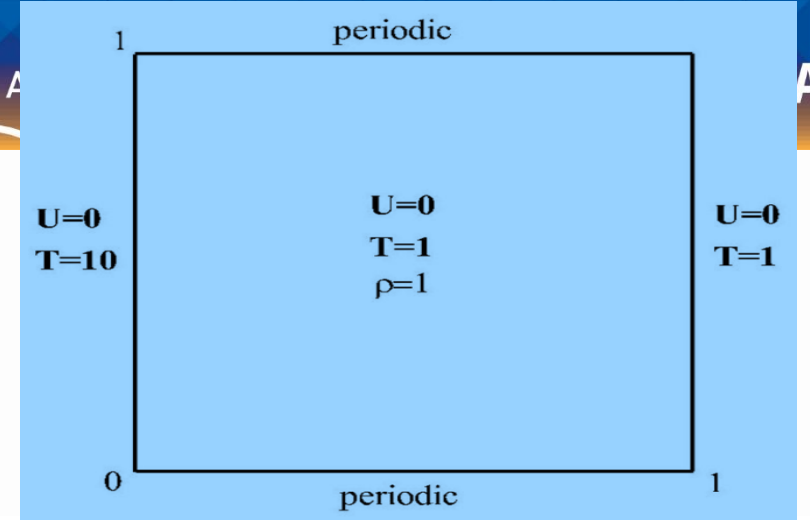
На начальном участке
спектр ЛИ-M (Красная линия) ближе к точному спектру (Зеленая линия)!



Примера расчетов. NS-Eqns

Расчет 1. Тепловая конвекция:

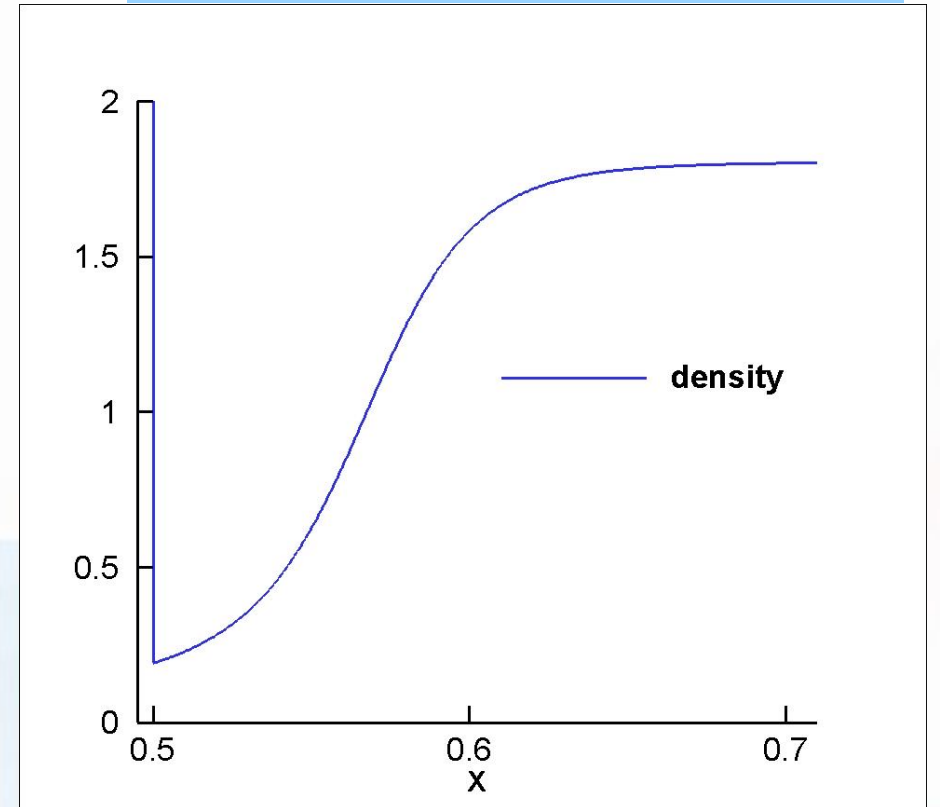
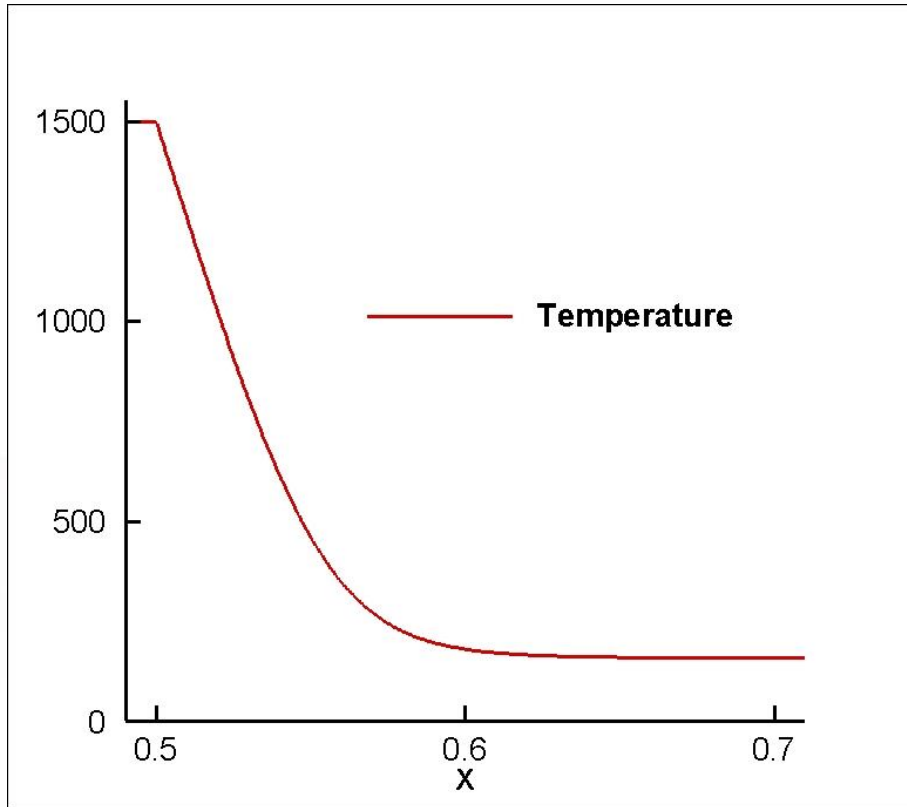
(Полежаев В.И.)



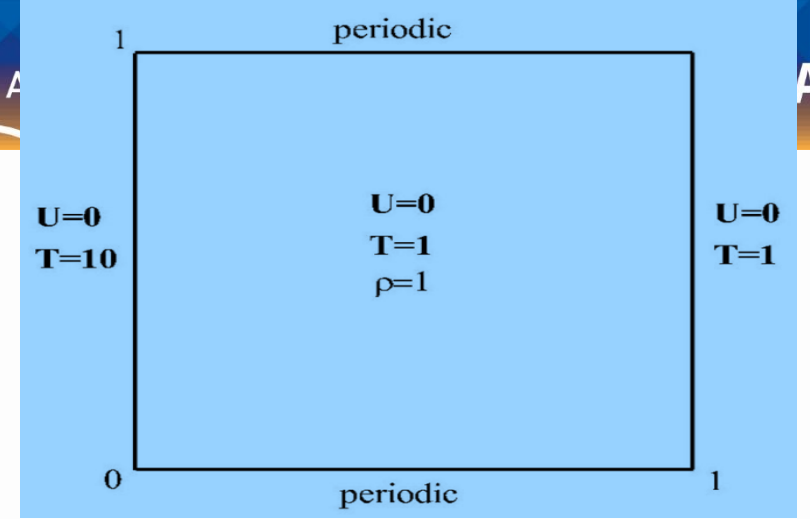
Динамика плотности (слева) и давления (справа)

Смесь идеальных газов.
Тепловая конвекция (Полежаев В.И.).
Стационарное состояние:

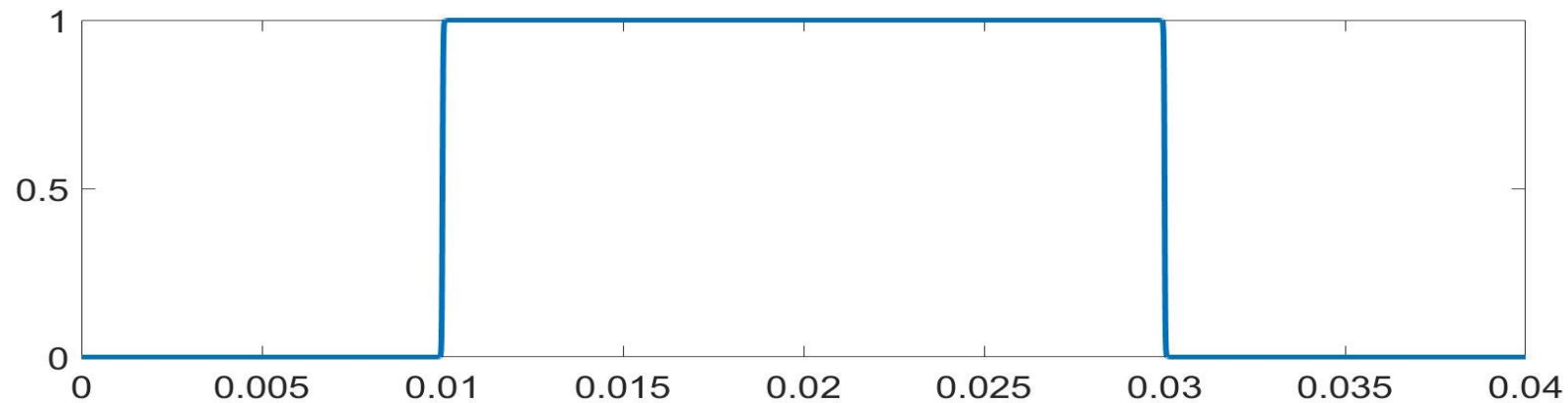
$$u = 0, \quad p = R\rho T = \text{const}$$



Стационарное состояние: температура (слева) и плотность (справа)

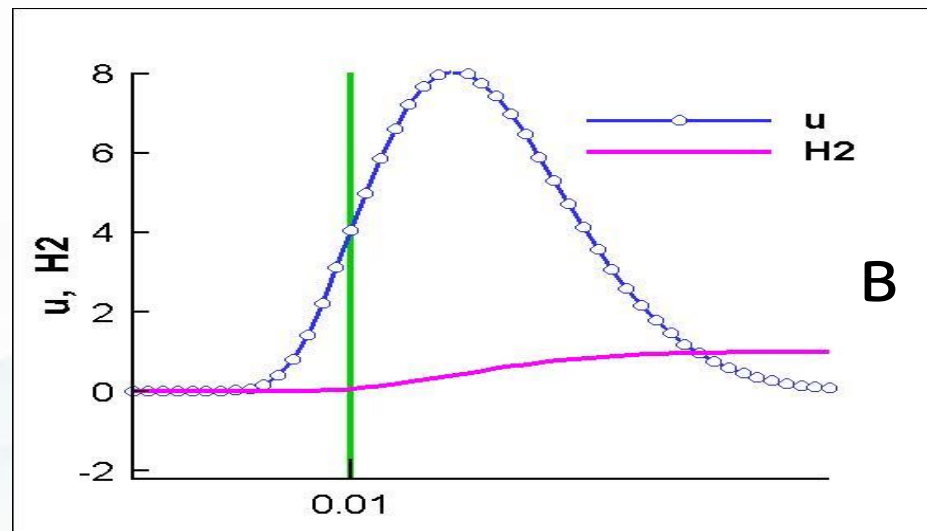
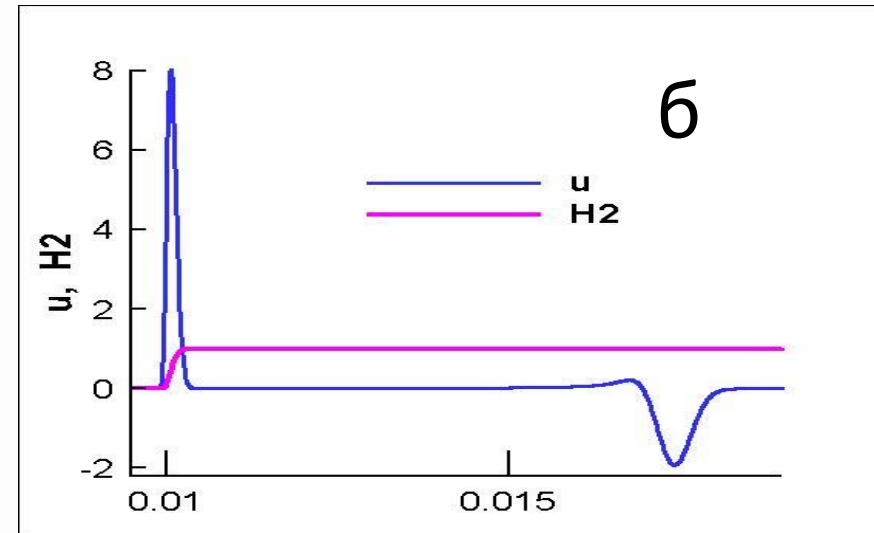
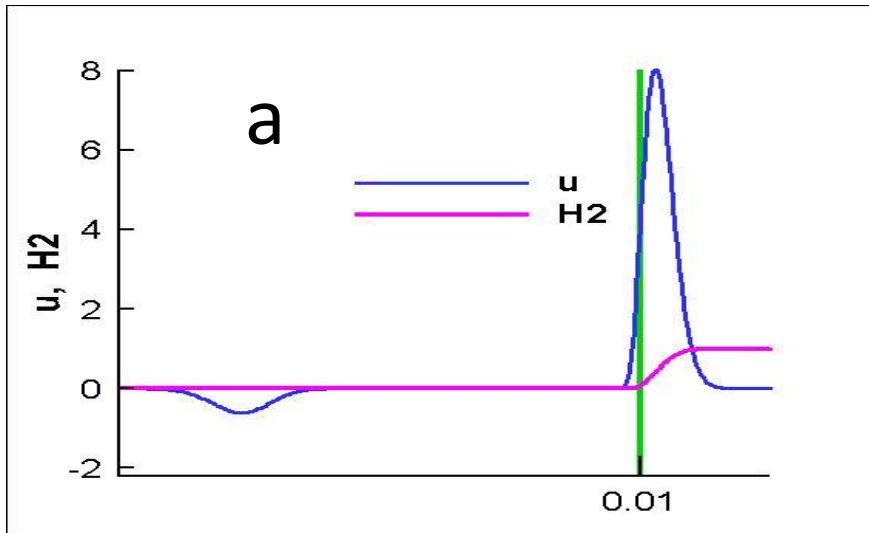


Акустические волны на диффузионной границе двух газов

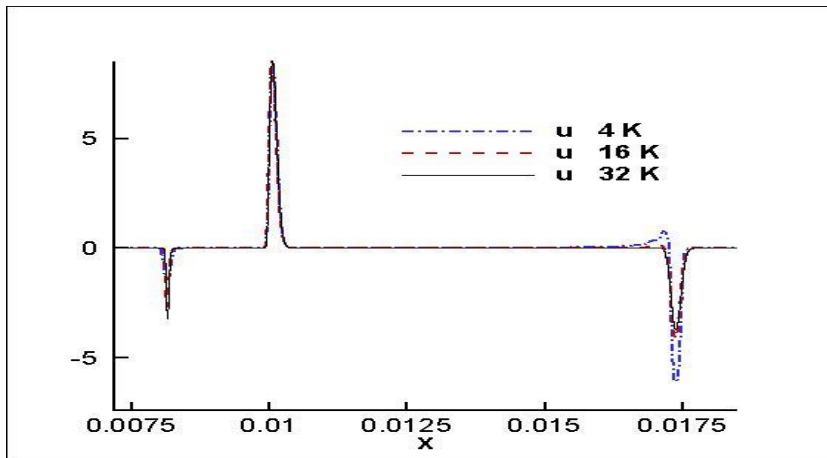


$p_0 = 1$ атм, $T_0 = 850$ К, скорости звука: O_2 - 550 м/с, H_2 - 2200 м/с

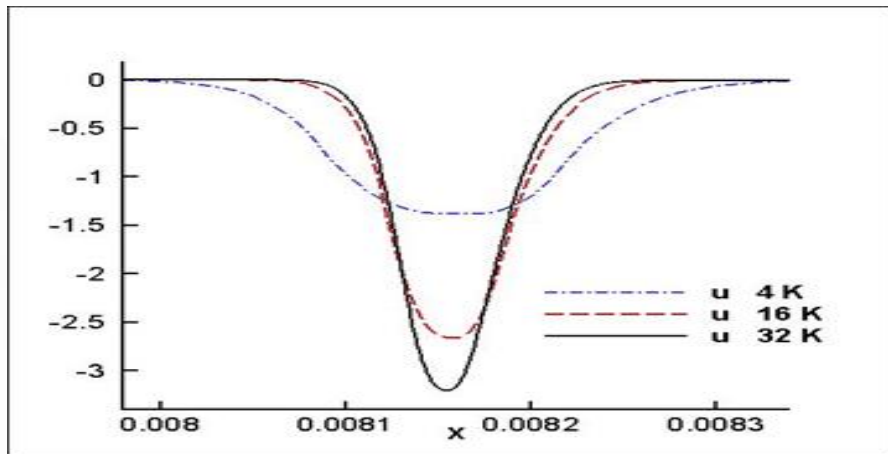
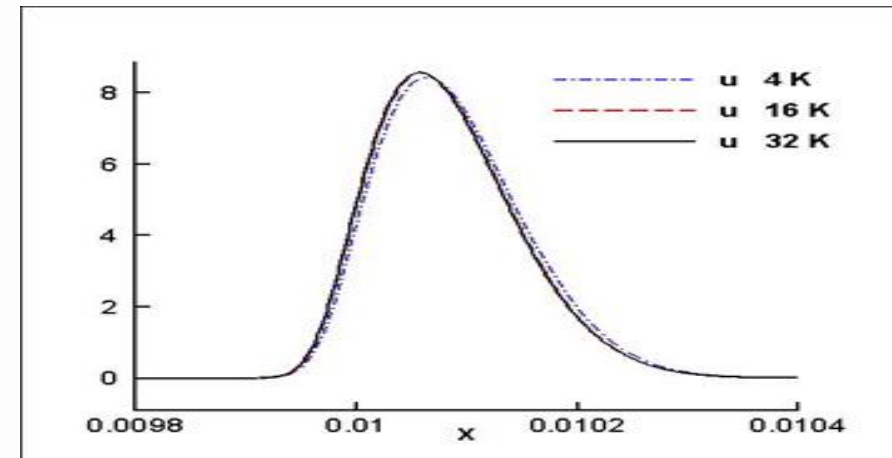
**Скорость и концентрация водорода: а) левая волна и зона смешения
б) правая волна и зона смешения в) зона смешения**



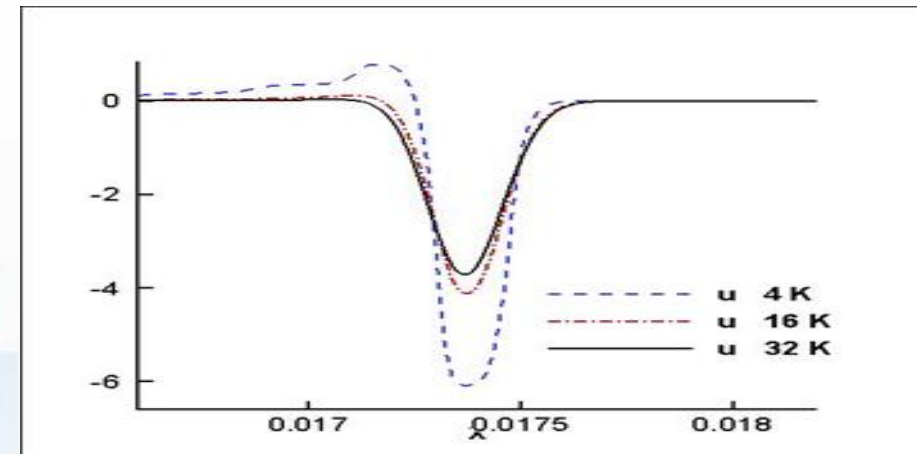
Профили скорости на разных сетках: а) во всей области и в зоне интерфейса, б) в окрестности левой и правой акустических волн



а

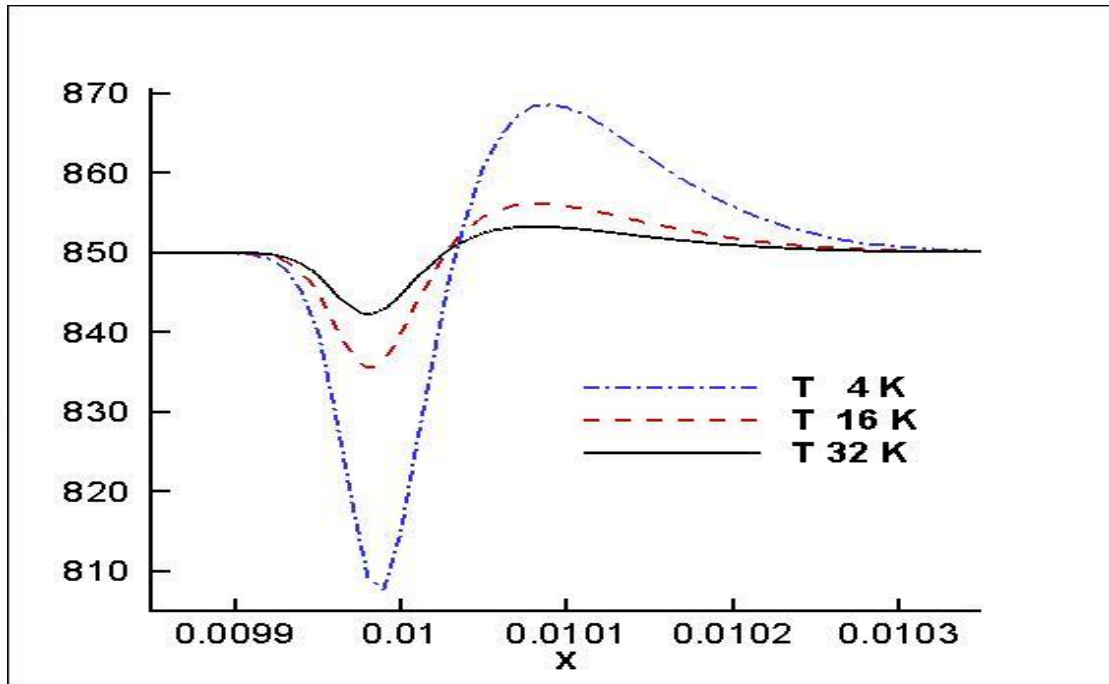


б

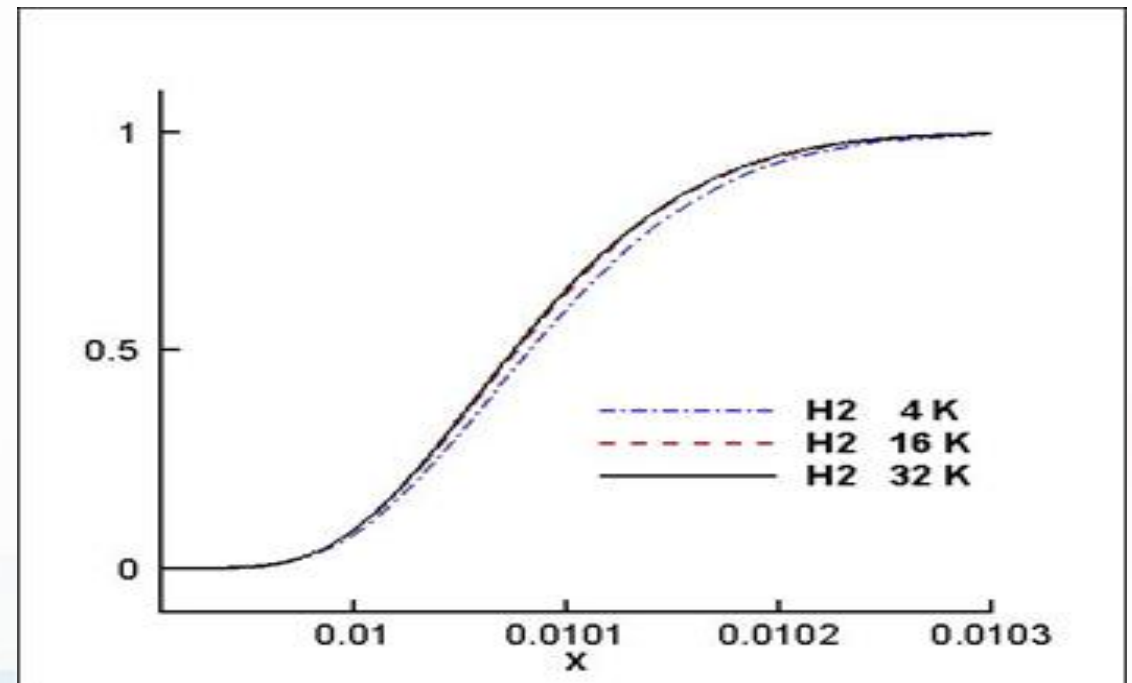


Профили температуры и концентрации водорода в зоне интерфейса

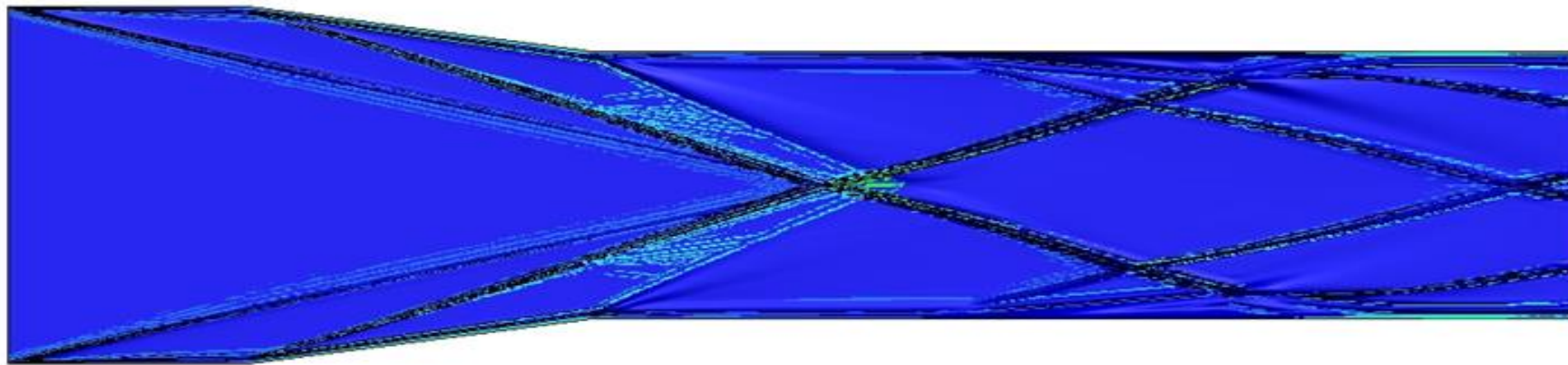
Температура



Концентрация водорода



Сверхзвуковое высокотемпературное течение в канале (Башкин В.А., Егоров И.В. ЦАГИ.) NS Eqns



Шлирен плотности

Сравнение с явной схемой: вычислительная эффективность схемы LINS выше и при $h \rightarrow 0$ ее преимущество многократно увеличивается

Сверхзвуковое течение в плоском канале переменного сечения. Установление. Сравнение схем. Сетка 16 К.

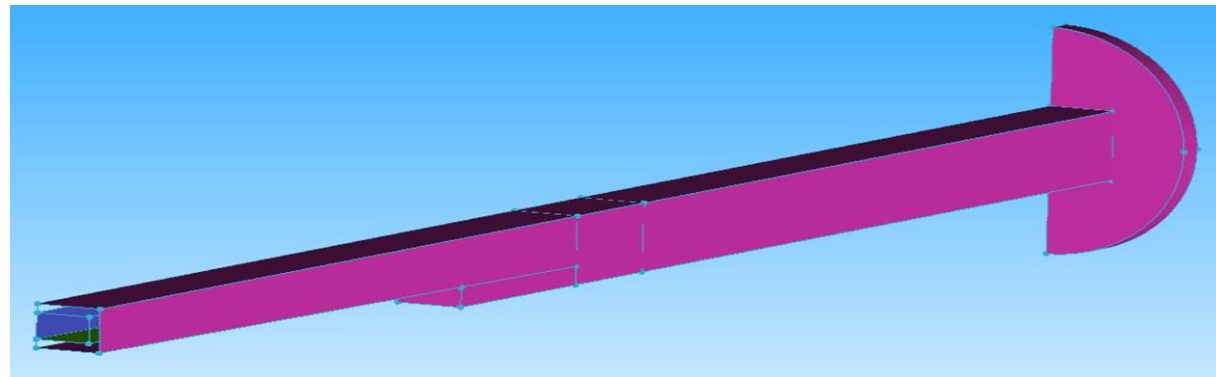
	Неявная схема	Явная схема $k_{CFL} = 0.5$	LINS, $p = 4 \div 5$
Число шагов	136 364	587 356	136 364
τ_{aver}	$1.1 \cdot 10^{-3}$	$2.6 \cdot 10^{-4}$	$1.1 \cdot 10^{-3}$
Время счета, сек	6 300	6 695	3 000
Точность, норма невязки	$8.5 \cdot 10^{-6}$	$8.5 \cdot 10^{-6}$	$2.6 \cdot 10^{-6}$



В процессе разработки:

Расчеты высокоскоростных многокомпонентных течений
с горением газофазного углеводородного топлива (керосина)

Камера сгорания ЦАГИ: автоколебательные режимы горения (В.В. Власенко и др.)

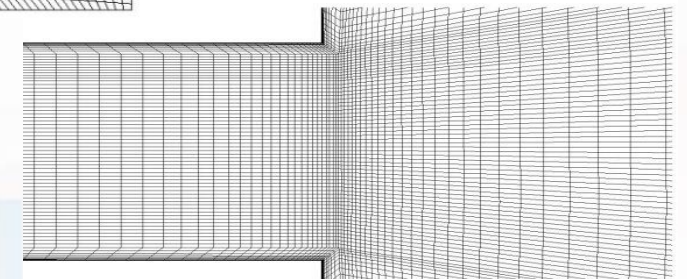
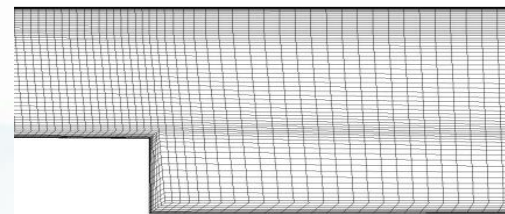
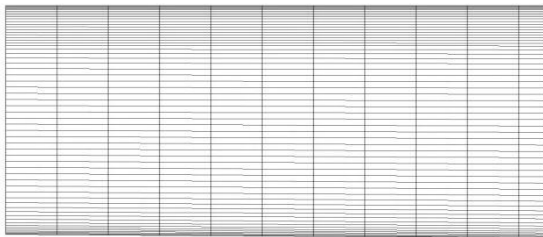
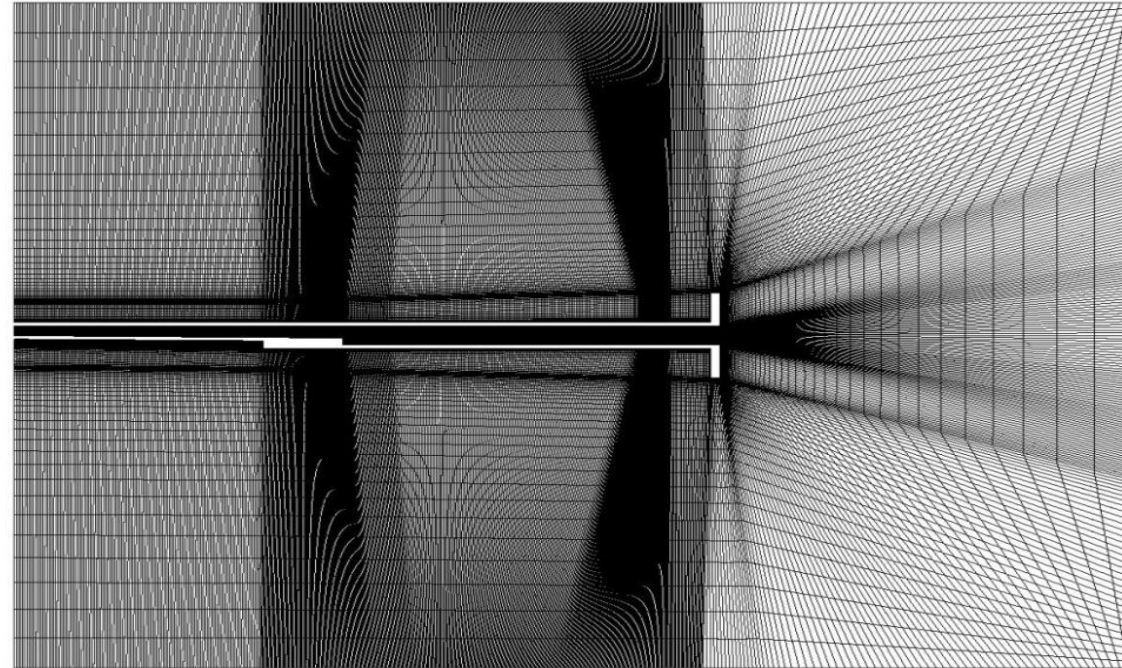


А – зона впрыска топлива; В – пневмодроссель

Коэффициент избытка окислителя $\alpha_1 = 1.34$ $\alpha_2 = 1.99$ $\alpha_3 = 2.45$

Расход керосина $G_1 \approx 1.315$ $G_2 \approx 0.886$ $G_3 \approx 0.719$

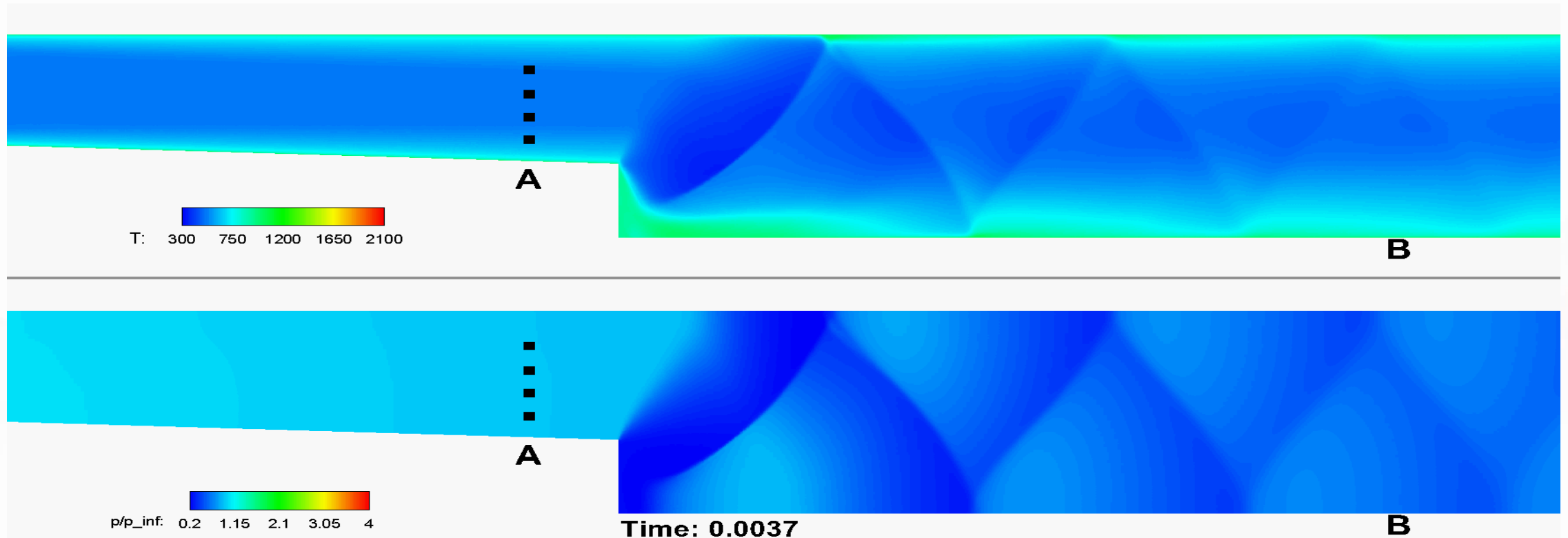
Сетка в установке с камерой сгорания

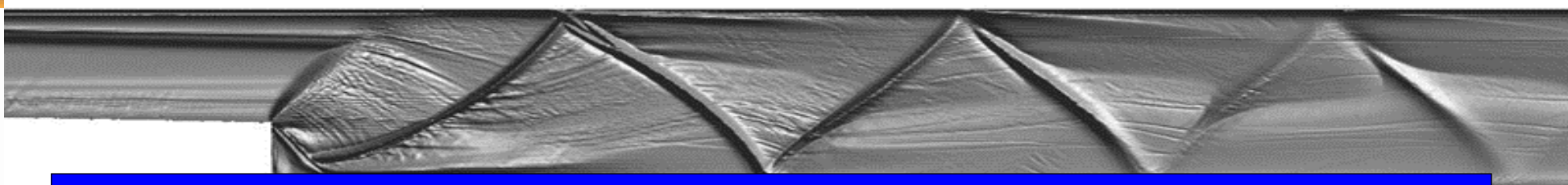


Четыре сетки: Сетка 1 (≈ 100 тыс.ячеек), Сетка 2 ($\approx 2.2 \cdot 10^5$ ячеек)
Сетка 3 $\approx 6.6 \cdot 10^5$ ячеек), Сетка 4 ($\approx 2.4 \cdot 10^6$ ячеек)

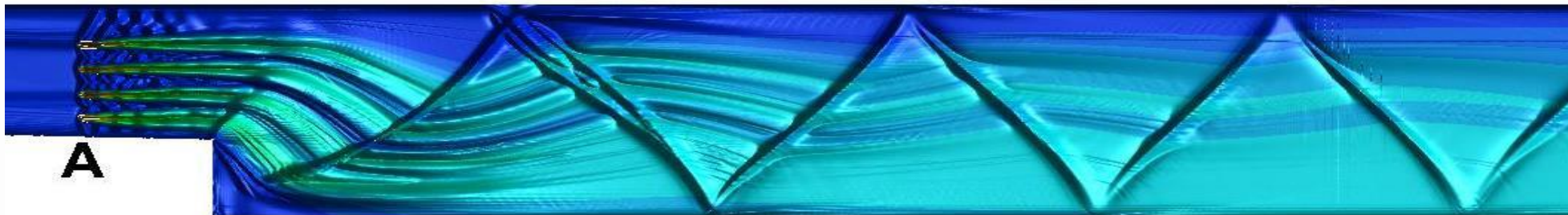


Топливная смесь (среднее обогащение $\alpha_2 = 1.99$) температура и давление

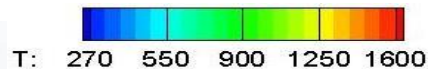
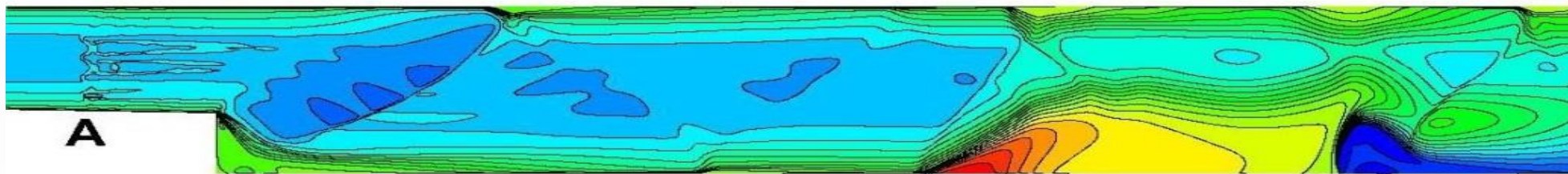




Поле градиента плотности. Идеальный газ

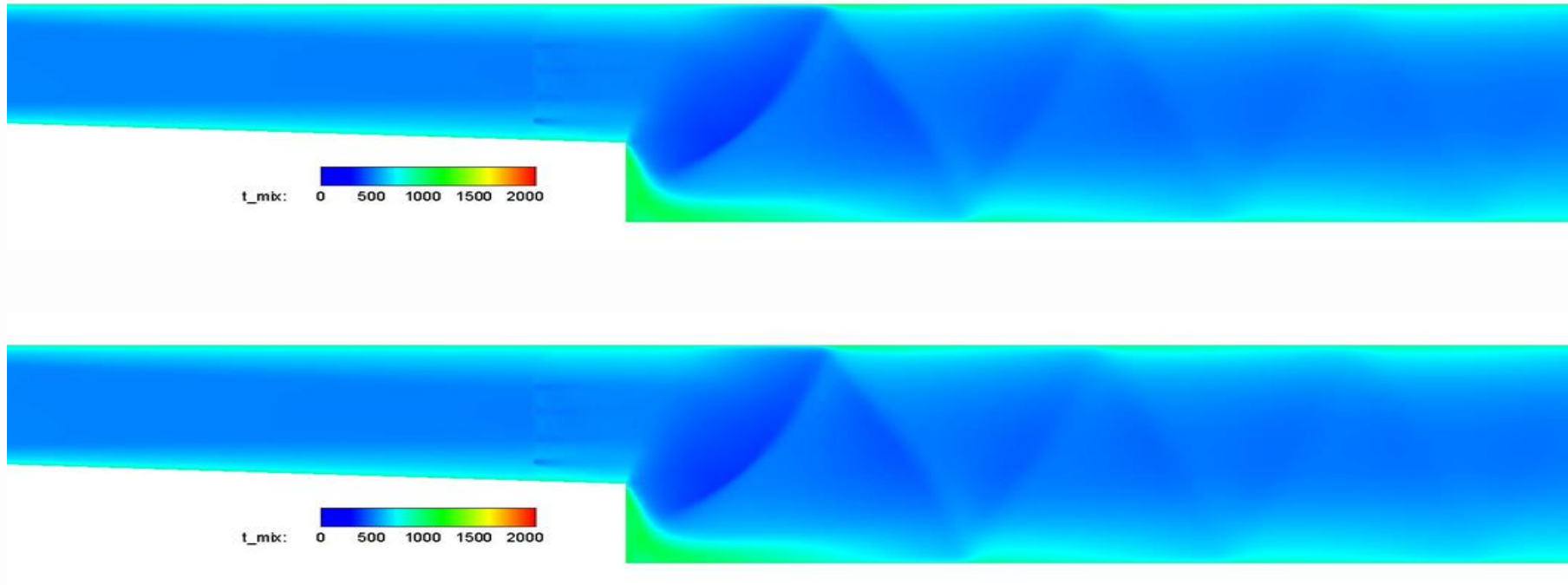


Массовая доля топлива. Многокомпонентный газ



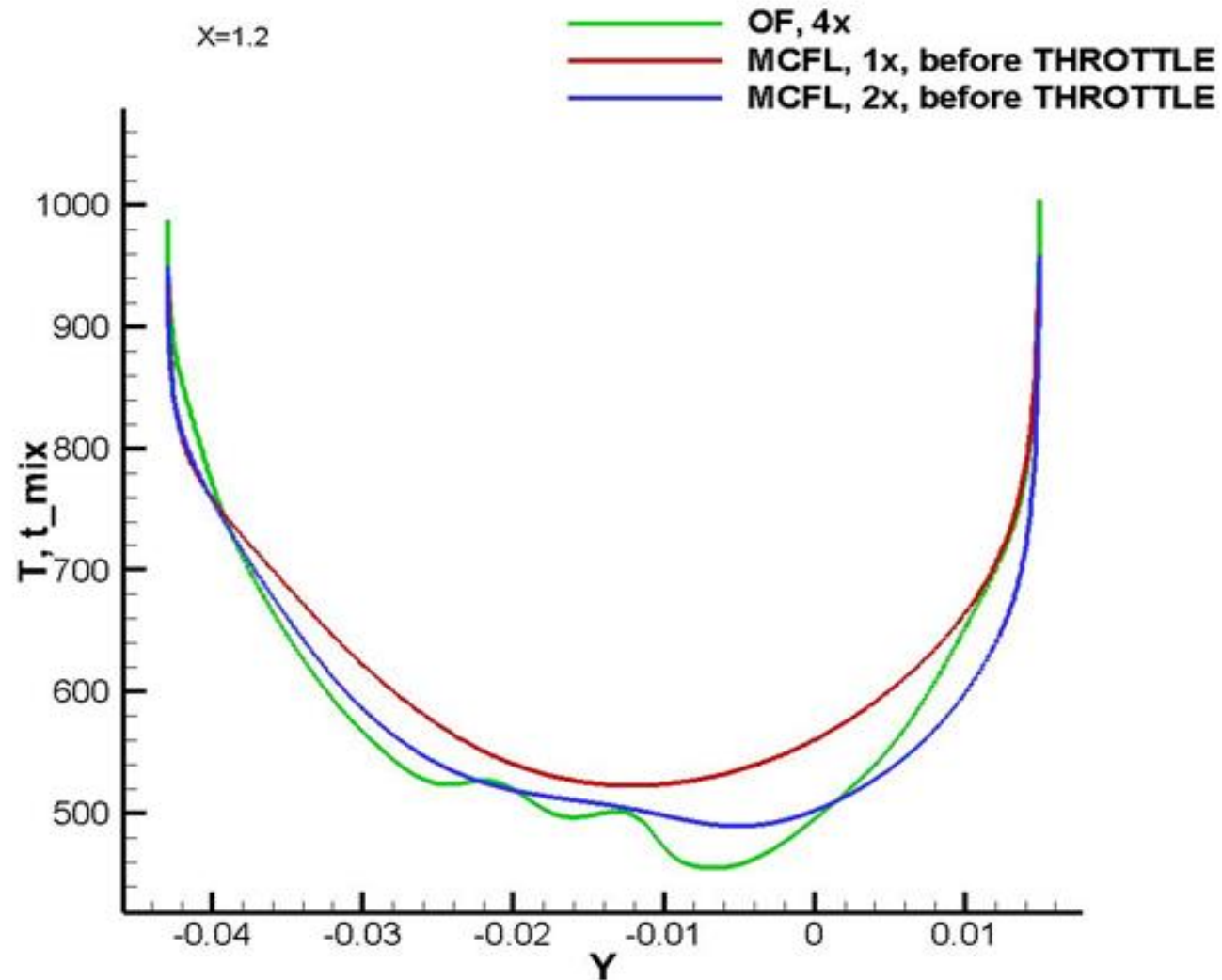
Поле температуры

Сравнение «холодных» расчетов MCFL (наш код) и OpenFOAM. Температура топливной смеси



Перед включением дросселя:
MCFL (вверху, сетка 2x) и OpenFOAM (внизу, сетка 4x)

Сравнение «холодных» расчетов MCFL и OpenFoam. Температура топливной смеси в вертикальном сечении перед дросселем



Код MCFL (Multicomponent Flows)

Представленный подход реализован в виде компьютерного кода MCFL как функциональное развитие кода NOISEtte ИПМ им. М.В. Келдыша. Код MCFL создается в парадигме современного программирования в системе совместной разработки кода NOISEtte.

Код MCFL наследует основные функциональные возможности присущие NOISEtte, в том числе параллельную эффективность.

MCFL находится в процессе развития, проводятся верификационные расчеты.

Заключение

Схема LINS расчета многокомпонентных сред имеет следующие особенности :

- конвекция и диссипативные процессы (вязкие, теплопроводные, диффузионные) реализуются явными и явно-итерационными алгоритмами соответственно.**
- схема LINS обеспечивает выполнение законов сохранения, эффективна в параллельной реализации.**

1. В. Т. Жуков, О. Б. Феодоритова, Н. Д. Новикова, А. П. Дубень. Явно-итерационная схема для интегрирования по времени системы уравнений Навье–Стокса // Матем. моделирование, 32:4 (2020), 57–74. DOI: <https://doi.org/10.20948/mm-2020-04-05>
2. Жуков В. Т. О явных методах численного интегрирования для параболических уравнений // Матем. мод. 2010. Т. 22. № 10. С. 127–158
3. *MacNamara, Shev & Strang, Gilbert. (2016). Operator Splitting. doi: 10.1007/978-3-319-41589-5_3.*
4. Марчук Г.И. Методы расщепления. М.: Наука, 1988.



Спасибо за внимание!

Доклад подготовлен в рамках реализации Программы создания и развития научного центра мирового уровня «Сверхзвук» на 2020—2025 годы при финансовой поддержке Минобрнауки России (Соглашение от 8 декабря 2020 г. № 075-11-2020-023).